

**ЗАРЯДОВЫЕ СОСТОЯНИЯ
ПЕРВИЧНЫХ РАДИАЦИОННЫХ ДЕФЕКТОВ
И ПРОЦЕССЫ ДЕФЕКТООБРАЗОВАНИЯ
В ОБЛАСТИ ПРОСТРАНСТВЕННОГО ЗАРЯДА
КРЕМНИЕВЫХ ДИОДНЫХ СТРУКТУР**

Бобрикова О. В., Обрехт М. С., Стась В. Ф.

Приведены результаты расчета кинетики зарядового состояния первичных радиационных дефектов (РД) в процессе облучения в обратно смещенных p^+ - n -структур. Сделан вывод о том, что уменьшение концентрации вторичных РД в области пространственного заряда (ОПЗ) связано с изменением констант реакций аннигиляции первичных РД. Рост аннигиляции первичных РД в ОПЗ обусловлен увеличением радиуса аннигиляции r_{IV} генетически связанных компонентов пар Френкеля за счет: 1) изменения зарядового состояния V , I в электрическом поле, 2) дрейфа во внешнем электрическом поле заряженных, генетически связанных компонентов пар Френкеля в области их аннигиляции (в области, где $r_{IV} < r_{IV}^{gen}$). Дано качественное объяснение экспериментально наблюдаемых профилей концентрации РД в базе обратно смещенных кремниевых диодных структур и их зависимости от интенсивности облучения, основанное на предположении о генерации положительно заряженных и нейтральных междуузельных атомов, отрицательно заряженных и нейтральных вакансий в процессе облучения. Сделана оценка коэффициента диффузии междуузельных атомов D_I при $T = 300 \text{ K}$ ($D_I \leq 10^{-7} \text{ см}^2/\text{с}$).

Экспериментально установлено, что воздействие электрического поля областей пространственного заряда (ОПЗ) кремниевых диодных структур приводит к уменьшению (относительно квазинейтрального объема) концентрации таких радиационных дефектов (РД), как A -центры (комплексы вакансия—кислород), E -центры (комплексы вакансия—фосфор), и дивакансий [1-6]. Естественно считать, что эффект связан с особенностями поведения в электрическом поле общего для всех трех комплексов компонента —вакансии V . Считается, что эффект связан либо с уходом—дрейфом из ОПЗ положительно заряженных вакансий [2, 3], либо с изменением констант скоростей реакций аннигиляции дефектов вследствие изменения зарядового состояния вакансий в ОПЗ барьерных структур во время облучения [4-6]. В обоих случаях рассматривается поведение заряженных вакансий. Поэтому возникает вопрос о зарядовом состоянии вакансий в ОПЗ барьерных структур во время облучения.

Цель данной работы — расчет кинетики зарядового состояния первичных РД в обратно смещенных диодных структурах в процессе облучения.

Рассматривалась следующая модельная ситуация. p^+ - n -структура с толщиной p^+ -слоя 2 мкм и концентрацией дырок $p = 3 \cdot 10^{17} \text{ см}^{-3}$, толщиной n -слоя 300 мкм и концентрацией электронов $n = 10^{15} \text{ см}^{-3}$ находится при обратном смещении U . Импульсным воздействием электронами с энергией $E = 3.5 \text{ МэВ}$, длительностью импульса $t_{\text{рез}} = 3 \text{ мкс}$ и частотой $f = 100 \text{ Гц}$ в объеме генерируются свободные ваканси. Концентрация вакансий задается плотностью потока электронов j_e .

Для данной модели решалась система из уравнений Пуассона (1), уравнений непрерывности для электронов и дырок (2, 3) и кинетических уравнений для четырех зарядовых состояний вакансий — V^+ , V^- , V^0 , V^+ (4-7):

$$\partial^2 \Phi / \partial x^2 = q (n - p - N_D + N_A) / \epsilon \epsilon_0, \quad (1)$$

$$\partial n / \partial t = \partial / \partial x [D_n \partial n / \partial x + \mu_n n \partial \Phi / \partial x + G_{eh}(t) - (n p - n_i^2) (C_n n + C_p p + 1) / ((n + n_i) \tau_p + (p + n_i) \tau_n)], \quad (2)$$

$$\partial p / \partial t = \partial / \partial x [D_p \partial p / \partial x - \mu_p p \partial \Phi / \partial x + G_{iv}(t) - (n p - n_i^2) (C_n n + C_p p + 1) / ((n + n_i) \tau_p + (p + n_i) \tau_n)], \quad (3)$$

$$\partial N^e / \partial t = -N^e / \tau_v - N^e (\gamma_p^- p + \nu_n^-) + N^- (\gamma_n^- n + \nu_p^-) + G_{te}(t), \quad (4)$$

$$\partial N^- / \partial t = -N^- / \tau_v - N^- (\gamma_n^- n + \gamma_p^- p + \nu_n^- + \nu_p^-) + N^e (\gamma_p^- p + \nu_n^-) + N^0 (\gamma_n^0 n + \nu_p^0) + G_{tv}(t), \quad (5)$$

$$\partial N^0 / \partial t = -N^0 / \tau_v - N^0 (\gamma_n^0 n + \gamma_p^0 p + \nu_n^0 + \nu_p^0) + N^- (\gamma_p^- p + \nu_n^-) + N^+ (\gamma_n^+ n + \nu_p^+) + G_{vv}(t), \quad (6)$$

$$\partial N^+ / \partial t = -N^+ / \tau_v - N^+ (\gamma_n^+ n + \nu_p^+) + N^0 (\nu_p^0 p + \nu_n^0) + G_{v+}(t). \quad (7)$$

Здесь Φ — потенциал, n , p — концентрации свободных носителей заряда, N_D , N_A — концентрации ионизированных донорных и акцепторных примесей, N — концентрация вакансий в i -ом зарядовом состоянии, t — время, x — координата, D_n , D_p , μ_n , μ_p — коэффициенты диффузии и подвижности носителей заряда, τ_n , τ_p — время жизни неосновных носителей заряда, C_n , C_p — коэффициенты оже-рекомбинации, $G_{eh}(t)$, $G_{iv}(t)$ — скорость генерации электронно-дырочных пар и пар вакансия—междоузельный атом пучком быстрых электронов (равномерная по объему), $G_{eh}(t) = G_{eh}^0$, $G_{iv}(t) = G_{iv}^0$ при $t \leq t_{\text{рев}}$, $G_{eh}(t) = 0$, $G_{iv}(t) = 0$ при $t > t_{\text{рев}}$, γ_n , γ_p — скорость захвата свободных носителей заряда на вакансию, ν_n , ν_p — скорость теплового выброса носителей заряда с вакансией.

$$\nu_{n,p}^{i,\pm 1} = \gamma_{n,p}^i N_{c,v} \exp [(E^i - E_{c,v}) / kT],$$

где $N_{c,v}$ — эффективная плотность состояний в зоне проводимости, валентной зоне соответственно, E^i — энергия уровня вакансии в i -ом зарядовом состоянии.

Границные условия на контактах диода при $x=0$ и $x=d$ задавались исходя из условий теплового равновесия и квазинейтральности

$$n(0) = n_0 = N(0)/2 + (N^2(0)/4 + n_i^2)^{1/2}, \quad p(0) = p_0 = N(0)/2 - (N^2(0)/4 + n_i^2)^{1/2},$$

$$\Phi(0) = (kT/q) \ln(n_0/n_i), \quad \Phi(d) = (kT/q) \ln(n/n_i) + U.$$

Здесь $N(0) = N_D(0) - N_A(0)$.

В качестве начальных условий применялись стационарные распределения концентраций и потенциала при $\tilde{G}_{eh} = G_{iv} = 0$.

Использовались следующие приближения.

1. Ступенчатое распределение примеси в структуре.
2. Расчет проводился для четырех известных в кремнии зарядовых состояний вакансий: V^+ , V^0 , V^- , V^{\pm} .
3. Начальное (в момент генерации) распределение вакансий по зарядовым состояниям принималось: а) равновероятным — $N^e = N^- = N^0 = N^+ = N_v/4$; б) асимметричным — $N^+ = N_v$, где N_v — суммарная концентрация генерированных вакансий.
4. Не учитывалось диффузационное движение первичных дефектов.

Время жизни первичных РД τ_v принималось, по данным работы [8], равным 10^{-3} с. Использовались следующие значения энергетических уровней вакансий: $E_c = -0.09$ эВ (V^-/V^{\pm}), $E_c = -0.3$ эВ (V^0/V^-), $E_v + 0.13$ эВ (V^+/V^0) [7].

Аналогичная система уравнений (1—7) применялась при расчете распределения междоузельных атомов по зарядовым состояниям для трех известных в кремнии состояний — I^+ , I^0 , I^- с энергетическими уровнями $E_c = -0.4$ эВ (I^0/I^-), $E_v + 0.4$ эВ (I^+/I^0) [7].

Параметрами являлись внешнее напряжение U , приложенное к структуре, плотность потока пучка быстрых электронов во время облучения j_e , сечения захвата σ , время жизни носителей заряда $\tau_{n,p}$, температура облучения T .

Расчет проводился методом Ньютона с использованием матричной прогонки [8] при решении уравнений (1—3). Система кинетических уравнений (4—7) решалась на каждом шаге по времени методом прогонки. Время счета типич-

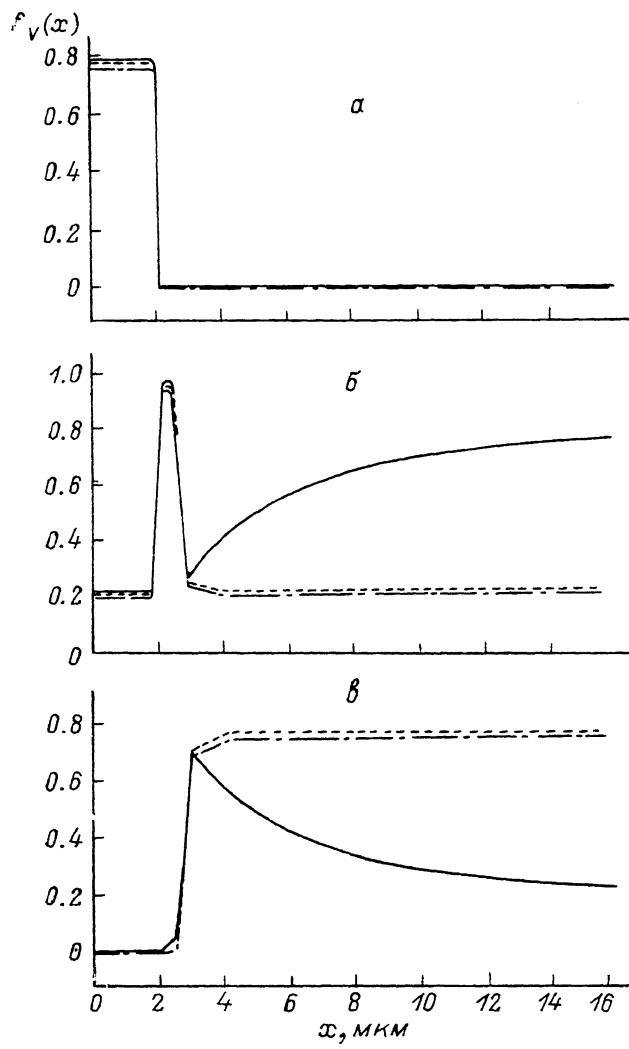


Рис. 1. Распределение вероятности нахождения вакансий в зарядовых состояниях V^+ (а), V^0 (б), V^- (с) по глубине $p-n$ -структур (параметры в таблице) в моменты времени с начала импульса потока электронов.

t , мкс: 3 (сплошная линия), 10 (штриховая), 30 (штрихпунктирная).

ного варианта переходного процесса с $t_{\text{рев}} = 3$ мкс и числом узлов сетки 40 составляет 2—3 мин на ЭВМ типа IBM-PC-AT. Требуемая память 300 Кбайт.

На рис. 1—4 представлены результаты расчета распределения вероятности нахождения первичных РД в определенном зарядовом состоянии в базе диодных структур для параметров, указанных в таблице. Использовались значения U , j_e , T , соответствующие условиям экспериментов [2—6].

Расчетные зависимости приведены для моментов времени, не превышающих 30 мкс, поскольку, как показал эксперимент [3, 6], время формирования профилей концентрации вторичных РД в ОПЗ составляет $t_{\text{фор}} \sim 10^{-5}$ с. На рис. 1 не приведено распределение по глубине вероятности нахождения вакансий в со-

стоянии V^+ , поскольку концентрация V^+ при $T=300$ К не превышает 0.01 % от общей концентрации вакансий.

Основные результаты расчета сводятся к следующему.

1. Для вакансий в области пространственного заряда при $T=300$ К доминирующим является состояние V^0 (рис. 1), распределение концентрации V^0 однородно по объему. Отметим, что изменение начального распределения вакансий по

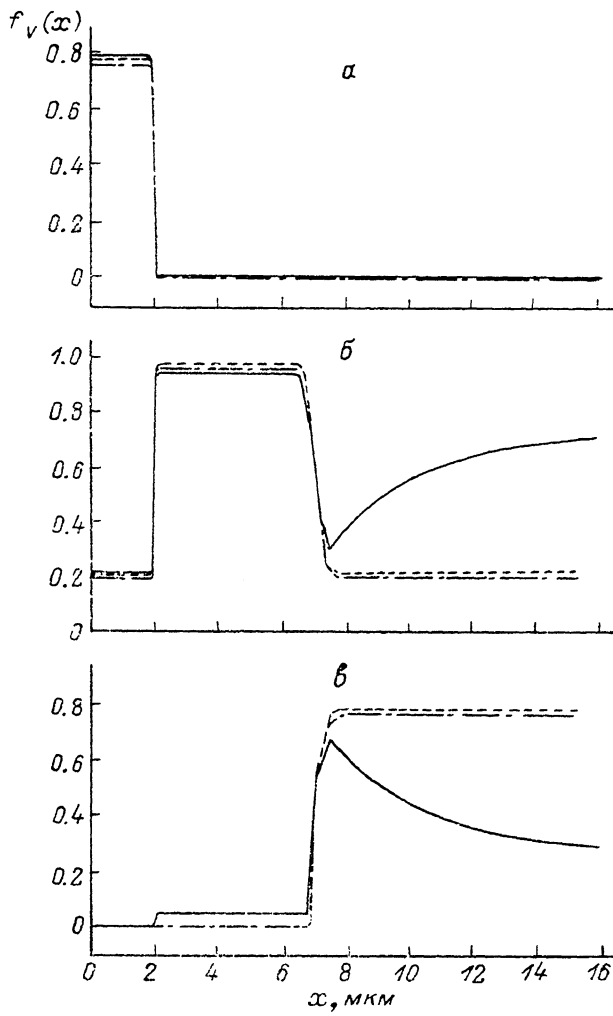


Рис. 1 (продолжение).

зарядовым состояниям — вероятности нахождения вакансии в состоянии V^+ в момент генерации ($N_V = N^+$), варьирование j_e ($5 \cdot 10^{-8} \leq j_e \leq 2 \cdot 10^{-7}$ А/см²), σ ($10^{-14} \leq \sigma_n, p \leq 10^{-16}$ см²), $10^{-14} \leq \sigma_n^+ \leq 10^{-19}$ см⁻²), уменьшение $\tau_{n, p}$ ($\tau_{n, p} \leq 10^{-6}$ с) — не изменили этот результат.

2. При $T=78$ К в ОПЗ зарядовое состояние вакансий определяется начальными условиями генерации, т. е. за время формирования профиля концентрации РД ($t \leq 30$ мкс) сохраняется такое распределение вакансий по зарядовым состояниям, какое было задано в момент генерации (в частности, равновероятное, рис. 2). Распределение концентрации V^+ однородно в ОПЗ независимо от j_e и $\tau_{n, p}$. Распределение концентрации $V^0, V^-, V^=$ неоднородно по глубине и определяется такими параметрами, как j_e (ср. рис. 2 с 3) и $\tau_{n, p}$. Так, для данной модельной ситуации при $j_e=2 \cdot 10^{-7}$ А/см² и $\tau_{n, p}=10^{-6}$ с в пределах ОПЗ наблюдается увеличение концентрации V^0 , соответственно уменьшение концентрации $V^-, V^=$ по глубине, $\Delta N_{V^0} = -(\Delta N_{V^-} + \Delta N_{V^=})$ (рис. 3). Уменьшение же

$\tau_{n,p}$ (до 10^{-7} с) и при $j_e = 2 \cdot 10^{-7}$ А/см² приводят к однородному распределению концентраций V^0 , V^- , V^+ в ОПЗ, аналогично приведенному на рис. 2, б. 3. Для междуузельных атомов в ОПЗ при $t \leq 30$ мкс и $T=300$ К ($T=78$ К) концентрации I во всех зарядовых состояниях — I^+ , I^0 , I^- сравнимы (рис. 4). Распределение концентрации I^0 , I^- , I^+ по глубине определяется плотностью

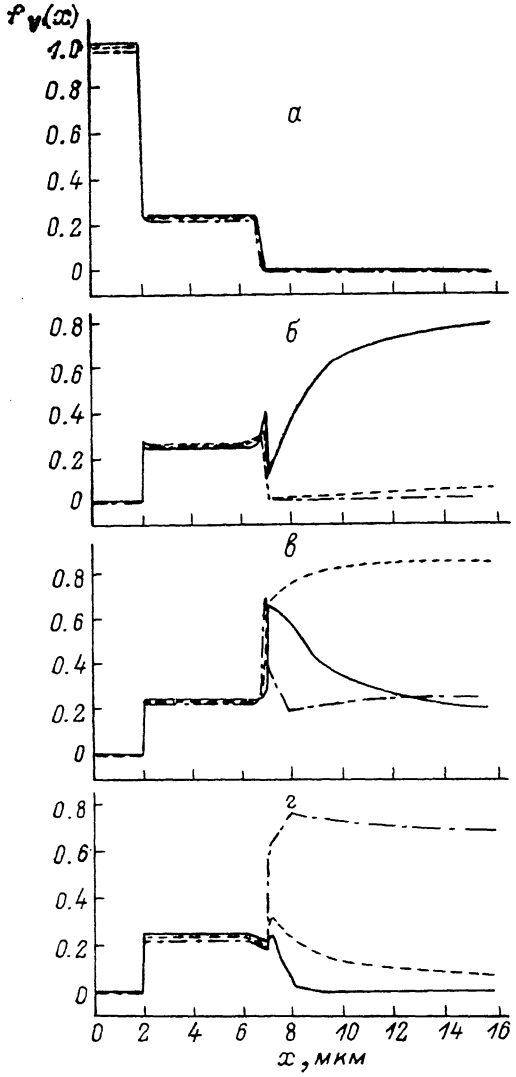
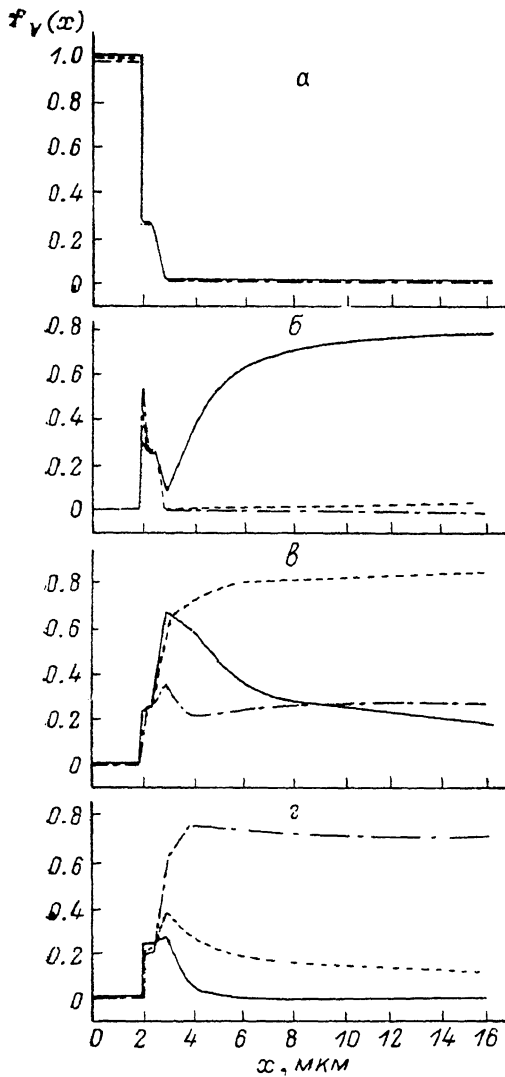


Рис. 2. Распределение вероятности нахождения вакансий в зарядовых состояниях V^+ (а), V^0 (б), V^- (в), $V^=$ (г) по глубине $p-n$ -структур (параметры в таблице) в моменты времени с начала импульса потока электронов.

t , мкс: 3 (сплошная линия), 30 (штриховая).

потока электронов j_e и временем жизни неосновных носителей заряда $\tau_{n,p}$. При $\tau_{n,p} = 10^{-6}$ с в пределах ОПЗ наблюдается увеличение концентрации I^0 , соответственно уменьшение концентрации I^+ , I^- . Концентрация I^0 увеличивается с ростом j_e . При малых значениях $\tau_{n,p}$ ($\tau_{n,p} \leq 10^{-7}$ с) распределение концентраций I^0 , I^- , I^+ однородно в пределах ОПЗ независимо от j_e ($5 \cdot 10^{-8} \leq j_e \leq 2 \cdot 10^{-7}$ А/см²) и температуры облучения.

4. В квазинейтральном объеме базы диодных структур (рис. 1—4) за $t \leq 30$ мкс устанавливается распределение первичных РД по зарядовым состояниям, определяемое положением уровня Ферми. При $T=300$ К доминирующими являются состояния V^- , I^- , при $T=78$ К — $V^=$, I^- . Анализируя полученные результаты, можно сделать вывод, что в ОПЗ диодных структур уменьшение концен-

№ рисун- ка	U , В	T , К	j_e , А/см ²	Параметры
1, а	0	300	$5 \cdot 10^{-8}$	$\tau_n = \tau_p = 10^{-8}$ с
1, б	-20			$\sigma_p^0 = \sigma_n^0 = 10^{-15}$ см ⁻²
2, а	0	78	$5 \cdot 10^{-8}$	$\sigma_p^- = \sigma_n^+ = \sigma_p^0 = 10^{-14}$ см ⁻²
2, б	-20			$\sigma_p^+ = \sigma_n^- = 10^{-16}$ см ⁻²
3	-20	78	$2 \cdot 10^{-7}$	$N^- = N^+ = N^0 = N_I = N_V / 4$
4	-20	300	$5 \cdot 10^{-8}$	$N^- = N^0 = N^+ = N_I / 3$
				в момент генерации в момент генерации

трации комплексов, содержащих вакансии, не связано с уходом — дрейфом из ОПЗ положительно заряженных вакансий. Действительно, как показал расчет, в ОПЗ при $T=300$ К вакансии находятся преимущественно в нейтральном со-

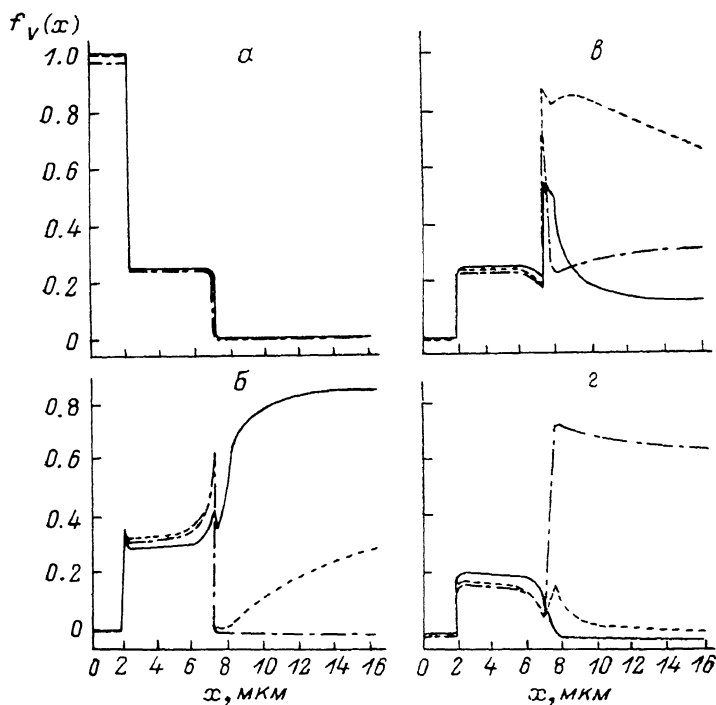


Рис. 3. Распределение вероятности нахождения вакансий в зарядовых состояниях V^+ (а), V^0 (б), V^- (в), V^- (г) по глубине $p-n$ -структур (параметры в таблице) в моменты времени с начала импульса потока электронов.

t , мкс: 3 (сплошная линия), 10 (штриховая), 30 (штрихпунктирная).

стоянии (рис. 1, б). Следовательно, основной причиной уменьшения концентрации вакансий и, как следствие, уменьшения концентрации вторичных РД в ОПЗ диодных структур является рост аннигиляции первичных РД в электрическом поле.¹

Отметим, что в настоящее время выполнен ряд работ, позволяющих считать, что концентрация вторичных РД определяется аннигиляцией генетических пар Френкеля. Аннигиляция первичных РД — кулоновским взаимодействием между ними [9–12].

Обсудим с этой точки зрения экспериментальные результаты [1–6]. Воспользуемся функцией распределения компонентов пар Френкеля по расстояниям

¹ Изменение в электрическом поле констант скоростей реакций комплексообразования вакансий с примесью — кислородом, фосфором не рассматривается по причинам, указанным в работе [4].

$f(x)$ в зависимости от их зарядового состояния (рис. 5). Подчеркнем, что явный вид функции $f(x)$ в настоящее время нам не известен.

В процессе комплексообразования с примесью (например, кислородом, фосфором) участвуют вакансии, избежавшие аннигиляции, т. е. вакансии, расположенные от собственного междоузельного атома на расстоянии, превышающем радиус аннигиляции $r_{IV} > r_{IV}^{an}$. При $r_{IV} \leq r_{IV}^{an}$ все вакансии аннигилируют с собственными междоузельными атомами.

Радиус аннигиляции, как показано в работе [9], (иными словами, вероятность аннигиляции) зависит от зарядового состояния реагирующих компонентов. Так, для одноименно заряженных компонентов пар Френкеля в силу кулоновского отталкивания вероятность того, что вакансия находится на $r_{IV} > r_{IV}^{an}$ от собственного междоузельного атома выше, чем для ситуации, когда хотя бы один из компонентов был нейтрален (ср. заштрихованные площади на рис. 5, а и 5, б).

Как показал расчет, в квазинейтральной области базы компоненты пар Френкеля одноименно заряжены, т. е. реализуется ситуация рис. 5, а. В ОПЗ при $T=300$ К практически все, а при $T=78$ К по крайней мере часть вакансий нейтральны (реализуется ситуация рис. 5, б). Кроме того, при $T=78$ К в ОПЗ возможно существование противоположно заряженных компонентов пар Френ-

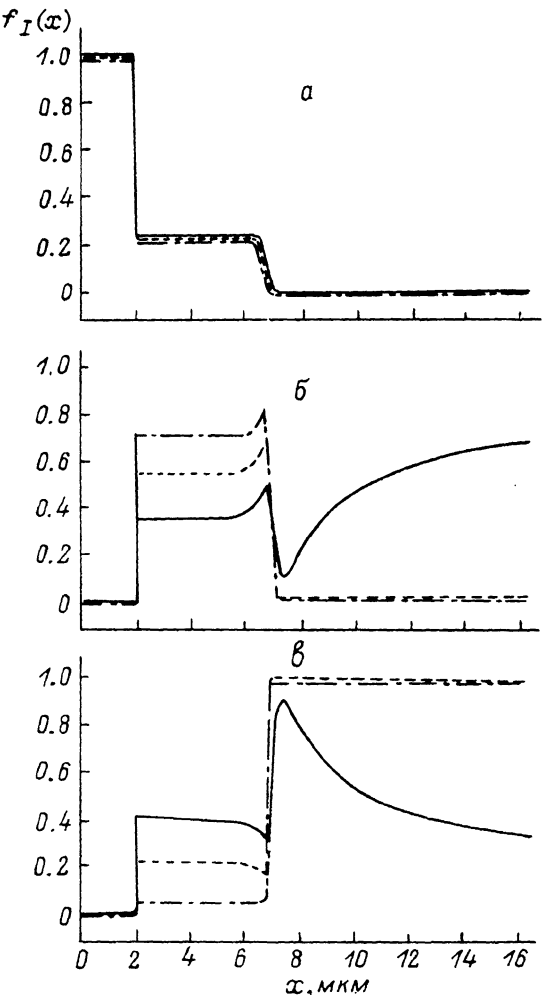


Рис. 4. Распределение вероятности нахождения междоузельных атомов в зарядовых состояниях I^+ (а), T^0 (б), I^- (в) по глубине $p-n$ -структур (параметры в таблице) в моменты времени с начала импульса потока электронов.

t , мкс: 3 (сплошная линия), 10 (штриховая), 30 (штрихпунктирная).

келя. Соответственно для квазинейтрального объема (для случая рис. 5, а) большая часть вакансий будет участвовать в образовании вторичных РД.

В работах [2-6] экспериментально получено, что концентрация комплексов, содержащих вакансии, неоднородно распределена в пределах ОПЗ — увеличивается с глубиной, не превышая своего значения в квазинейтральном объеме. Численный же эксперимент показал, что по крайней мере при $T=300$ К доминирующими зарядовыми состояниями вакансий в ОПЗ является состояние V^0 и концентрация нейтральных вакансий в пределах ОПЗ распределена однородно (рис. 1). Концентрация нейтральных междоузельных атомов увеличивается в пределах ОПЗ по направлению к квазинейтральному объему, причем $\Delta N_{V^0} = -(\Delta N_{I^+} + \Delta N_{I^-})$ (рис. 4). Поэтому, чтобы концентрация вторичных РД возрас-
тала по глубине в пределах ОПЗ (эксперимент) и отслеживала концентрацию избе-
жавших аннигиляции вакансий, необходимо, чтобы нейтральные вакансии анни-
гилировали с нейтральными междоузельными атомами менее эффективно, чем с заряженными. Это возможно как при различии величин барьеров аннигиля-
ции, так и при различии радиусов аннигиляции пар $I^0 V^0$ и $V^0 I^\pm$ [13]. Нам пред-

ставляется, что разница барьеров аннигиляции не является доминирующей причиной. В противном случае имела бы место экспоненциальная зависимость эффекта уменьшения концентрации РД в ОПЗ от температуры облучения. В работе [4] показано, что эффективность введения РД в ОПЗ постоянна в пределах двух диапазонов температур: 300—180 и 160—78 К и уменьшается в области 180—160 К. Поэтому в качестве определяющей причины рассмотрим изменение радиусов аннигиляции.

Относительное изменение концентрации вакансационных комплексов в ОПЗ диодных структур при однородном распределении по объему одного из компонентов (кислорода, фосфора) можно записать в виде

$$N_{\text{рд}}^{\text{опз}}(x)/N_{\text{рд}}(\infty) \sim N_V^{\text{опз}}(x)/N_V(\infty) = [N_{\text{ев}} - N_{\text{ан}}^{\text{опз}}(x)]/[N_{\text{ев}} - N_{\text{ан}}(\infty)], \quad (8)$$

где $N_{\text{ев}}$ — концентрация генерированных (в данном случае однородно по объему), $N_{\text{ан}}$ — концентрация аннигилировавших вакансий. Учитывая аннигиляцию вакансий только с междоузельными атомами, имеем для квазинейтрального объема

$$N_{\text{ан}}(\infty) = \alpha_{\text{ан}} N_{\text{ев}} N_{\text{гвт}}. \quad (9)$$

Здесь

$$\alpha_{\text{ан}} = 4\pi r_{IV} (D_I + D_V), \quad (10)$$

$\alpha_{\text{ан}}$ — константа скоростей реакций аннигиляции вакансий и междоузельных атомов I , находящихся друг от друга на расстоянии, не превышающем радиус аннигиляции $r_{IV} \leq r_{\text{ан}}^{\text{опз}}$, D_I — коэффициенты диффузии I , V [13].

В ОПЗ $\alpha_{\text{ан}}^{\text{опз}}$ будет определяться выражением

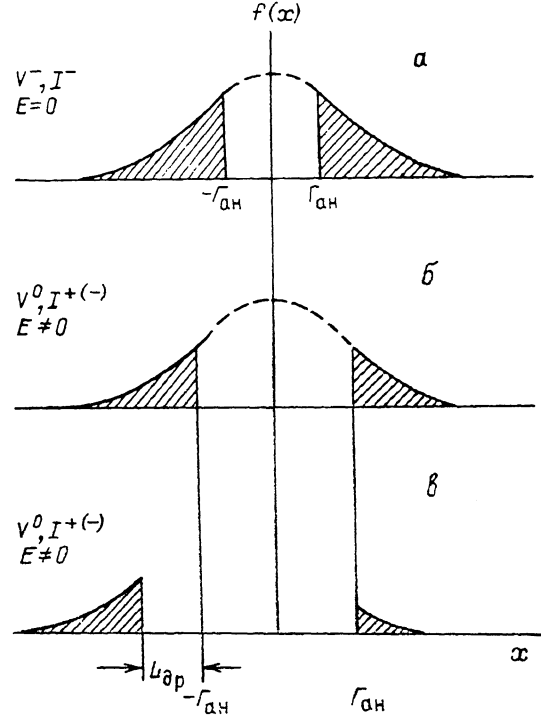


Рис. 5. Качественный вид функции распределения компонентов пар Френкеля по расстояниям. Заштрихована площадь, соответствующая доли непротивоположных компонентов пар Френкеля в зависимости от их зарядового состояния и наличия электрического поля.

$$N_{\text{ан}}^{\text{опз}}(x) = 4\pi (r_{IV} + L_{\text{др}}) (D_I + D_V) = 4\pi (r_{IV} + EDt_{\text{др}}/\varphi_T) (D_I + D_V), \quad (11)$$

где $L_{\text{др}}$ — дрейфовая длина, $t_{\text{др}}$ — время дрейфа (при $T=300$ К — междоузельных атомов) в электрическом поле напряженностью E . Это значит, что по сравнению с квазинейтральным объемом в ОПЗ дополнительно могут аннигилировать вакансии и междоузельные атомы, находящиеся друг от друга на расстоянии $r_{IV}^{\text{ан}} \leq r_{IV} \leq r_{IV}^{\text{ан}} + L_{\text{др}}$ (рис. 5, в). После подстановки (9)—(11) в (8) получим линейную зависимость $N_{\text{рд}}^{\text{опз}}(x)/N_{\text{рд}}(\infty)$ от напряженности электрического поля E , что и проявляется в экспериментах [2—5].

Таким образом, уменьшение концентрации вакансационных комплексов в ОПЗ диодных структур связано с повышением вероятности аннигиляции вакансий. Наиболее вероятной причиной увеличения вероятности аннигиляции вакансий в ОПЗ является рост радиуса аннигиляции первичных РД $r_{IV}^{\text{ан}}$ за счет:

- 1) изменения зарядового состояния первичных РД в электрическом поле (рис. 5, а, б);
- 2) линейной зависимости $r_{IV}^{\text{ан}}$ от напряженности внешнего электрического поля вследствие дрейфа заряженных генетически связанных компонентов пар Френкеля в область их аннигиляции (в область, где $r_{IV} \leq r_{IV}^{\text{ан}}$) (рис. 5, в).

Поскольку при $T=300$ К вакансии в ОПЗ нейтральны (рис. 1, б), ясно, что в данном случае ($T=300$ К) возможен дрейф только заряженных междуузельных атомов. Расстояние между вакансией и междуузельным атомом, способными аннигилировать, можно принять, по данным работы [9], равным 10^{-6} см. Тогда при $E \sim 10^4$ В/см и $t_{\text{др}} \sim 10^{-5}$ с ($t_{\text{др}}$ не превышает время формирования профиля концентрации РД в электрическом поле, при $T=300$ К, как экспериментально установлено нами и в работе [3], $t_{\text{форн}} \leq 10^{-5}$ с) получим

$$L_{\text{др}} = E D_I t_{\text{др}} / \Phi_T = 10^4 D_I 10^{-5} / (2.6 \cdot 10^{-2}) \leq 10^{-6}.$$

Отсюда

$$D_I \leq 10^{-7} [\text{см}^2/\text{с}].$$

В отличие от $T=300$ К, где в ОПЗ простая ситуация: нейтральные ваканси (рис. 1, б) и заряженные междуузельные атомы (рис. 4), при $T=78$ К невозможны подобные оценки параметров РД из экспериментальных зависимостей. Действительно, как показал расчет, при $T=78$ К зарядовое состояние вакансий определяется начальными условиями генерации. Однако в настоящее время нет экспериментальных данных, позволяющих судить, в каком зарядовом состоянии генерируются первичные РД в кремнии. Но интересен полученный при расчете результат, показывающий, что при $T=78$ К с ростом j_e увеличивается концентрация нейтральных вакансий по глубине в пределах ОПЗ, причем $\Delta N_{v^0} = -(\Delta N_{v^-} + \Delta N_{v^+})$. Тогда рост концентрации вторичных РД в ОПЗ с увеличением j_e при $T=78$ К, наблюдаемый экспериментально [5], будет отслеживать рост концентрации нейтральных вакансий с увеличением j_e при условии, что вероятность аннигиляции нейтральных вакансий в ОПЗ меньше вероятности аннигиляции отрицательно заряженных вакансий, т. е. при условии, что в ОПЗ $\alpha_{\text{аа}}^{\text{опз}}(J, V^0) < \alpha_{\text{аа}}^{\text{опз}}(J, V^{(-)})$. Это условие выполняется лишь при наличии положительно заряженных междуузельных атомов в ОПЗ во время формирования профиля концентрации вторичных РД (следовательно, во время генерации компонентов пар Френкеля). Таким образом, экспериментально наблюдаемое повышение концентрации вторичных РД в ОПЗ с ростом j_e при $T=78$ К возможно лишь при наличии в момент генерации положительно заряженных (и нейтральных) междуузельных атомов, нейтральных и отрицательно заряженных вакансий и объясняется ростом концентрации нейтральных вакансий (соответственно уменьшением концентрации отрицательно заряженных вакансий) с увеличением плотности потока электронов j_e . Отметим также, что, как показал расчет, однородность распределения компонентов пар Френкеля в определенном зарядовом состоянии (соответственно распределение концентрации вторичных РД) в пределах ОПЗ определяется такими параметрами структуры, как время жизни неосновных носителей заряда в p - и n -областях $\tau_{n, p}$. Поэтому при определенных условиях (например, при $T=300$ К и $\tau_{n, p} \leq 10^{-7}$ с) зависимости концентрации вторичных РД (A - и E -центров) в ОПЗ от j_e наблюдаться не будет.

Итак, в данной работе проведен расчет кинетики зарядового состояния первичных РД в процессе облучения в обратно смещенных $p^+ - n$ -структур. Сделан вывод, что уменьшение концентрации вторичных РД в ОПЗ связано с изменением констант скоростей реакций аннигиляции первичных РД. Рост аннигиляции первичных РД в ОПЗ обусловлен увеличением радиуса аннигиляции $r_{IV}^{\text{аа}}$ за счет (наиболее вероятные причины): 1) изменения зарядового состояния V , I в электрическом поле; 2) дрейфа во внешнем электрическом поле заряженных, генетически связанных компонентов пар Френкеля в область их аннигиляции (в область, где $r_{IV} \leq r_{IV}^{\text{аа}}$). Как в квазинейтральном объеме, так и в ОПЗ вакансии и междуузельные атомы, генерированные друг от друга на расстоянии, не превышающем радиус аннигиляции, аннигилируют и не участвуют в процессе образования вторичных РД. На основе этих представлений дано качественное объяснение экспериментально наблюдаемых профилей концентрации РД в базе обратно смещенных диодных структур и их зависимости от j_e .

В заключение авторы выражают благодарность А. И. Бааранову за плодотворное обсуждение результатов, Н. Н. Герасименко за поддержку в работе.

Список литературы

- [1] Kimerling L. C. // Def. Rad. Eff. Semicond. Conf. Ser. N 46. London—Bristol, 1979. P. 56—73.
- [2] Болотов В. В., Карпов А. В., Стучинский В. А. // ФТП. 1988. Т. 22. В. 1. С. 49—55.
- [3] Болотов В. В., Стучинский В. А. // ФТП. 1988. Т. 22. В. 8. С. 1405—1408.
- [4] Бобрикова О. В., Стась В. Ф. // ФТП. 1988. Т. 22. В. 1. С. 143—145.
- [5] Бобрикова О. В., Герасименко Н. Н., Стась В. Ф. // ФТП. 1988. Т. 22. В. 12. С. 2236—2239.
- [6] Бобрикова О. В., Герасименко Н. Н., Стась В. Ф. // ФТП. 1989. Т. 23. В. 10. С. 1838—1844.
- [7] Емцев В. В., Машовец Т. В. Примеси и точечные дефекты в полупроводниках. М., 1981. 248 с.
- [8] Самарский А. А. Теория разностных схем. М., 1980. 653 с.
- [9] Крайчинский А. П., Мизрухин Л. В., Шаховцев В. И. // ФТП. 1983. Т. 17. В. 3. С. 437—440.
- [10] Войцеховский А. И., Крайчинский А. П., Мизрухин Л. В., Шаховцов В. И. // Письма ЖТФ. 1981. Т. 7. В. 17. С. 1029—1032.
- [11] Лугаков П. Ф., Лукьянница В. В. // ФТП. 1984. Т. 18. В. 2. С. 345—347.
- [12] Corbett J. W. // Inst. Phys. Conf. 1977. N 31. Р. 1—11.
- [13] Баранов А. И., Васильев А. В., Кулешов В. Ф., Вяткин А. Ф., Смирнов Л. С. // Препринт. Черноголовка, 1985. 50 с.

Институт физики полупроводников
СО АН СССР
Новосибирск

Получена 13.11.1990
Принята к печати 9.01.1991